

04; 07; 12

© 1990 г.

**ОПТИЧЕСКИЙ МЕТОД РЕГИСТРАЦИИ
РАСПРЕДЕЛЕНИЯ ПЛОТНОСТИ ПО СЕЧЕНИЮ
ПРОТЯЖЕННЫХ ПЛАЗМЕННЫХ СТОЛБОВ**

Б. А. Князев, П. И. Мельников, В. В. Чикунов

Описан метод измерения распределения интенсивности излучения по поперечному сечению протяженных самосветящихся объектов. Метод основан на съемке объектов со стороны торца с помощью ЭОП через оптическую систему, обладающую свойством «отбирать» световые лучи, параллельные оптической оси системы, что обеспечивает высокое пространственное разрешение. Рассмотрен вопрос о фотографической фотометрии «фасеточных» (т. е. составленных из отдельных точек) изображений, которые характерны, в частности, для ЭОП с МКП усилителем. Показано, что при съемках в свете тормозного излучения оказывается возможным восстановление распределения плотности электронов плазмы. В качестве примера приведены результаты исследования профиля плотности столба замагниченной плазмы ($n_e \approx 10^{15} \text{ см}^{-3}$) диаметром 6 см и длиной 1 м, созданного прямым разрядом в металлической камере.

Введение

В экспериментальных исследованиях часто приходится иметь дело с плазменными образованиями, которые могут быть неоднородными в поперечном сечении, но достаточно однородными в продольном направлении. В качестве примеров можно привести плазму поперечного разряда в мощных газовых лазерах, а также замагниченную плазму в длинных соленоидах. В первом случае продольная однородность плазмы обеспечивается некоторыми специальными мерами (см., например, [1]), а в последнем обусловлена анизотропией процессов переноса в магнитном поле.

В настоящей работе описана оптическая система на основе электронно-оптического преобразователя (ЭОП), позволяющая исследовать с высоким пространственным и временным разрешением распределение по поперечному сечению интенсивности излучения протяженных самосветящихся объектов. Использование светофильтров, выделяющих различные спектральные диапазоны, позволяет проводить съемки как на отдельных атомных (ионных) линиях, так и в континууме. Как будет показано ниже, в последнем случае можно определить распределение по сечению плотности электронов плазмы $n(x, y)$.¹

Исследования поперечного сечения плазменного столба проводились ранее с помощью «плазмоскопов», описанных в ряде работ (см., например, [2, 3] и библиографию в них). В этих устройствах регистрировалось свечение люминифора под действием электронов, извлекаемых с помощью системы сеток из плазмы и ускоряемых до энергии порядка 10 кэВ. Однако их применение возможно только при не слишком высокой (до $n_e \sim 10^{14} \text{ см}^{-3}$) плотности плазмы. Описываемый здесь метод свободен от этого ограничения.

¹ Точнее говоря, определяется величина $\int n_e(x, y) dz/L$.

Схема эксперимента

Для краткости совместим описание собственно метода с примером его конкретной реализации — исследованием замагнченного плазменного столба длиной 120 см и диаметром 6 см, используемого в экспериментах по взаимодействию интенсивного микросекундного релятивистского электронного пучка (РЭП) ускорителя У-1 [4] с газом и плазмой [5, 6]. Схема установки показана на рис. 1. Плазма создавалась прямым разрядом между графитовой тканью² и металлической сеткой³ З. Форма импульса тока I_p , приведена на рисунке.

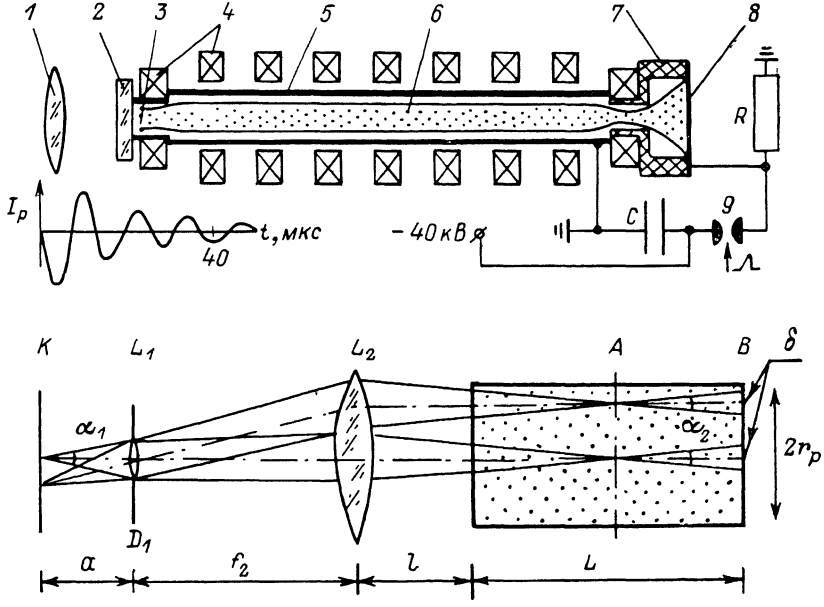


Рис. 1. Схема экспериментальной установки и оптической системы.

1 — собирающая линза (на рисунке внизу L_2); 2 — выходное окно; 3 — металлическая сетка (анод); 4 — катушки магнитного поля; 5 — металлическая камера; 6 — плазма; 7 — изолятор; 8 — графитовая ткань (катод); 9 — разрядник; К — фотокатод ЭОП; L_1 , D_1 — линза и диафрагма объектива ЭОП.

Поперечный размер плазмы определялся конфигурацией магнитного поля и геометрией изолятора 7. Диаметр плазмы в камере из нержавеющей стали 5 (ϕ 10.4 см) был меньше размера отверстия в пробочной катушке соленоида 4 (ϕ 7.5 см). Магнитное поле в однородной части соленоида составляло 4 Тл, в пробке 8.8 Тл. Концентрация газа (гелий) менялась в диапазоне от 10^{14} до 10^{16} см⁻³. При высоких плотностях газа плазма не была полностью ионизованной, максимальная плотность электронов (определенная интерферометрически) составляла 10^{15} см⁻³. Спектральный состав излучения контролировался с помощью монохроматора МДР-23 с девятиканальным волоконно-оптическим дисектором с блоком фотоумножителей.

Оптическая система

Для исследования распределения интенсивности излучения плазмы по сечению с разрешением по времени использовалось устройство (рис. 1), которое мы будем называть далее плазмоскопом (по аналогии с [2, 3]). Оптическая система, состоявшая из входной диафрагмы диаметром D_1 и двух линз L_1 и L_2 соответственно, позволяла отображать на плоскость K фотокатода ЭОП среднюю плоскость A плазменной камеры. Линза L_1 расположена в фокальной плоскости линзы L_2 и сильно задиафрагмирована, поэтому через нее проходят только те световые лучи, испущенные из плазмы, которые находятся в узком

² Такой способ создания плазменного столба был развит на установке ГОЛ-3 [7, 8].

³ В экспериментах с электронным пучком в этом месте располагается фольга, через которую РЭП инжектируется в плазму.

угле $\alpha < \alpha_2$ относительно оптической оси системы. Расстояния f_2 , l и L заданы геометрией эксперимента. Расстояние a между первой линзой и фотокатодом может быть вычислено или найдено экспериментально, тогда как размер диафрагмы D_1 определяется необходимым пространственным разрешением. Диаметр пятна δ на плоскости B определяет пространственное разрешение системы $\delta/2r_p$.

Расчеты оптической системы приведены в [9]. Нетрудно найти, что

$$a = \frac{f_1}{1 + \frac{f_1}{f_2} \left(\frac{l + L/2}{f_2} - 1 \right)}, \quad (1)$$

а пространственное разрешение в пересчете на объект $\delta = D_1 L / 2f_2$. В нашем случае $f_1 = 58$ мм, $f_2 = 580$ мм, $l = 260$ мм, $L = 1000$ мм⁴) и $a = 56.3$ мм. Величина D_1 составляла 3 мм, при этом $\delta = 2.5$ мм. Относительное пространственное разрешение $(\delta/2r_p) = 0.04$ было достаточно хорошим. Описываемая система имеет весьма малый телесный угол регистрирующей системы $\Omega = \pi \delta^2 / L^2 \sim 10^{-5}$, следовательно, в большинстве случаев приемлемая длительность экспонирования может быть достигнута только при использовании ЭОП с большим усилением по свету.

Экспериментальные результаты

Для регистрации изображений нами использовался электронно-оптический преобразователь ПИМ-104-2В [10] с увиолевым окном, мультишупочным фотокатодом, МКП усилителем и волоконно-оптической шайбой на выходе. ЭОП обеспечивал высокое ($\sim 10^4$) усиление изображения и мог работать как в кадровом режиме, так и в режиме щелевой развертки. Съемки производились в свете линий НеI (587.6 нм) и НеII (468.6 нм), а также в непрерывном спектре (540—576 нм). Нужные спектральные интервалы выделялись наборами светофильтров. Отсутствие в них линейчатого излучения контролировалось с помощью монохроматора. Длительность экспонирования менялась от 1 мкс в начале разряда до 30 мкс на стадии распада плазмы.

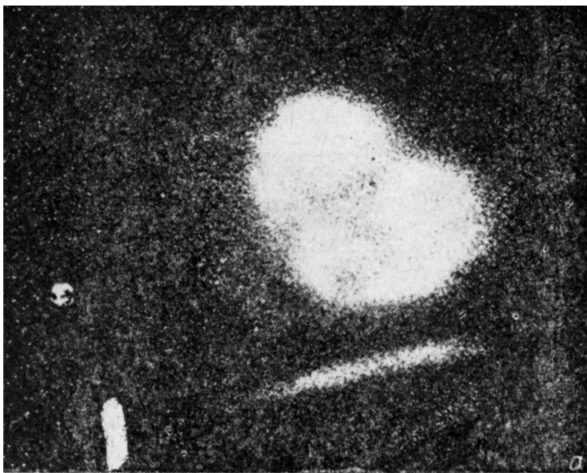
Подборка из трех кадров, приведенная на рис. 2, демонстрирует свечение плазмы в различные моменты времени в непрерывном спектре. Отчетливо видно, что на больших временах (после окончания тока разряда) плазма становится существенно неоднородной и в радиальном, и в азимутальном направлениях, что указывает на развитие в ней неустойчивости. При всех давлениях гелия имеется период времени в диапазоне между 10-й и 50-й микросекундами от начала разряда, когда свечение плазмы достаточно однородно, причем это наблюдается и в свете линий, и в континууме. Например, в момент $t = 17$ мкс (рис. 2) распределение свечения аксиально-симметричное с небольшим провалом в центре.

Восстановление интенсивности излучения при регистрации на фотопленке

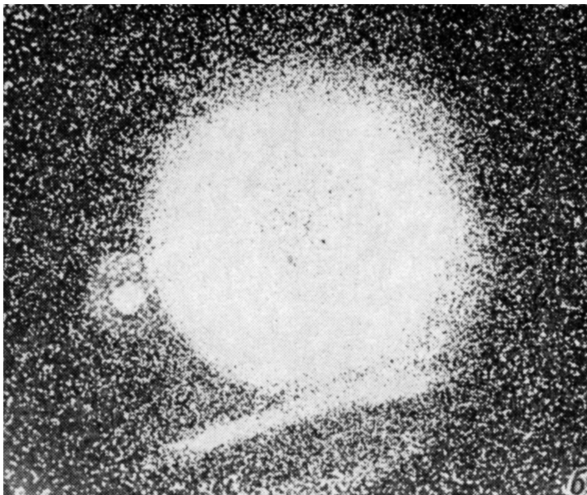
Особо следует остановиться на восстановлении распределения интенсивности падающего на фотокатод излучения в случае использования ЭОП с МКП усилителем и волоконно-оптической шайбой на выходе. Основной особенностью изображения, получаемого в таких системах, является его «фасеточный» характер, когда в результате «срабатывания» отдельного канала МКП на фотопленке появляется пятнышко, диаметр которого в среднем составляет ~ 50 мкм (при диаметре канала 12 мкм).

Если при съемке длительность экспонирования меньше, чем «мертвое время» канала МКП (которое может достигать 40 мс [11]), то линейность изображения может быть обеспечена только в том случае, когда на любом участке МКП доля «сработавших» каналов много меньше единицы. В качестве верхнего предела

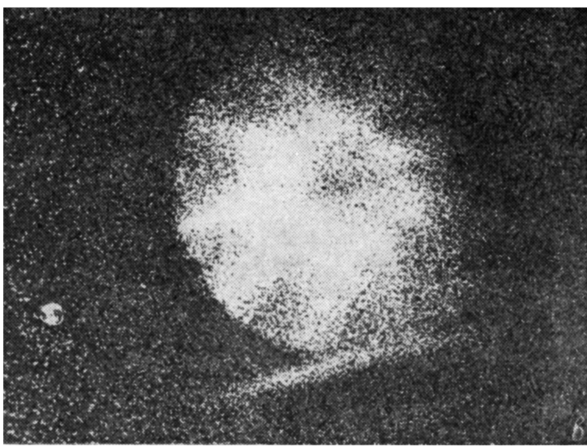
⁴ Это значение L соответствует однородной части. Вблизи торцов диаметр плазмы меняется, но относительно малая длина неоднородных участков позволяет пренебречь их свечением.



a



b



c

Рис. 2. Свечение гелиевой плазмы в непрерывном спектре в различные моменты времени от начала разряда.

1 — 3, 2 — 17, 3 — 130 мкс. Начальная плотность газа $2 \cdot 10^{15} \text{ см}^{-3}$.

этой величины можно принять значение порядка 0.1. Это условие означает, что в большинстве случаев изображение на фотопленке будет фасеточным, а следовательно, его нельзя обрабатывать обычными методами фотографической фотометрии [12].

Поскольку каждое пятнышко ослабляет в среднем световой поток на некоторую величину $\Delta\Phi$, а число пятнышек N в поле зрения микрофотометра пропорционально интенсивности падающего излучения J , то отношение световых потоков через неэкспонированную и экспонированную фотопленки есть

$$\frac{\Phi}{\Phi_0} = \frac{\Phi_0 - \Delta\Phi \cdot cJ}{\Phi_0}, \quad (2)$$

где c — некоторая константа.

Тогда относительная интенсивность источника может быть найдена из следующего соотношения:

$$J(x, y) \sim 1 - \frac{\Phi}{\Phi_0} \equiv \\ \equiv 1 - 10^{-D(x, y)}, \quad (3)$$

где $D = \lg(\Phi_0/\Phi)$ — оптическая плотность покернения фотопленки, измеренная с помощью стандартного микрофотометра.

Статистическая ошибка $\delta J/J = N^{-1/2}$ и тем меньше, чем больше поле зрения микрофотометра.

Из численных оценок и контрольной обработки участков пленки с разной интенсивностью засветки следует, что восстановление с помпой (3) допустимо при $D \leq 0.6$.

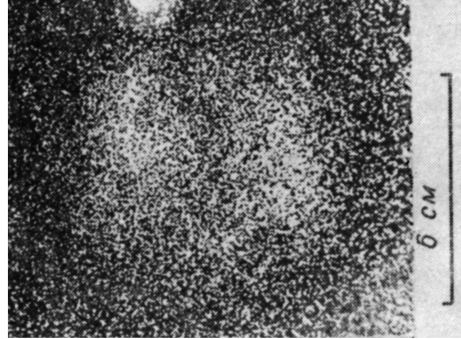


Рис. 3. Свечение плазмы в непрерывном спектре ($t=80$ мкс), его микрофотограмма, а также расчетные значения J (штриховая кривая) и n_e (точки).

При более высоких D отдельные пятнышки начинают накладываться друг на друга. Практика показала, что для визуального контроля удобно пользоваться несколько «пересвеченными» изображениями с $D_{\max} \sim 1$, такими, как на рис. 2. На рис. 3 приведены результаты количественной обработки свечения плазмы в непрерывном спектре в момент начала развития неустойчивости. Высокий уровень шума на микрофотограмме обусловлен малым полем зрения микрофотометра ИФО-451 ($S=0.18$ мм^2 , число пятнышек в максимуме ~ 30) и в принципе может быть существенно уменьшен.

О восстановлении распределения плотности электронов по тормозному спектру

В случае, когда съемки проводятся в свете тормозного и рекомбинационного континуумов, используя известные выражения, можно соотнести распределение интенсивности с распределением плотности электронов плазмы. В частности если температура удовлетворяет условию $T_e > 1.3 \hbar\omega$, где $\hbar\omega$ — энергия регистрируемых фотонов (в нашем случае $\hbar\omega \approx 2$ эВ), то преобладающим является тормозное излучение [13], интенсивность которого в стандартных обозначениях можно записать следующим образом:

$$J \sim \sum_i \frac{Z_i^2 n_i n_e}{T_e^{1/2}} e^{-\frac{\hbar\omega}{T}} \simeq \frac{n_e^2}{T_e^{1/2}} \sum_i \frac{Z_i^2 n_i}{n_e} \equiv \frac{n_e^2 Z_{\text{эфф}}}{T_e^{1/2}}. \quad (4)$$

Откуда

$$n_e(x, y) \sim \frac{J^{1/2} T_e^{1/4}}{Z_{\text{эфф}}}. \quad (5)$$

В наших экспериментах сколько-нибудь заметного свечения примесей в течение по крайней мере нескольких десятков мкс не наблюдалось. Считая $Z_{\text{эфф}} = \text{const}(x, y)$ и пренебрегая слабой зависимостью (5) от температуры, получим $n_e \sim J^{1/2}$. Соответствующая зависимость показана на рис. 3 точками. Интерферометрические измерения величины $\int n_e dy$ позволяют определить абсолютные значения n_e . Видно, что в центре плотность плазмы составляет около $1.5 \cdot 10^{15} \text{ см}^{-3}$.

Авторы благодарят С. Г. Воропаева, Р. Р. Ибрагимова и Ю. И. Красникова за помощь в работе.

Список литературы

- [1] Райзэр Ю. П. Основы современной физики газоразрядных процессов. М.: Наука, 1980. 415 с.
- [2] Dobrokhотов Е. И., Zharinov A. V., Moskalev I. N., Petrov I. V. // Nucl. Fusion. 1969. Vol. 9. N 2. P. 143—155.
- [3] Аржаников А. В., Бурдаков А. В., Дейчули П. П. и др. // Физика плазмы. 1978. Т. 4. Вып. 5. С. 1133—1140.
- [4] Воропаев С. Г., Князев Б. А., Койдан В. С. и др. // Письма в ЖТФ. 1987. Т. 13. Вып. 5. С. 431—435.
- [5] Князев Б. А., Мельников П. И., Чикунов В. В. // Тез. докл. VII Всесоюз. симпозиума по сильноточной электронике. Томск, 1988. Ч. 2. С. 100—108. Препринт ИЯФ СО АН ССР. № 88-76. Новосибирск, 1988. 24 с.
- [6] Chikunov V. V., Knyazev B. A., Melnikov P. I. // Proc. 13th Intern. Symp. on Discharges and Electrical Insulation in Vacuum. Paris, 1988. Vol. 2. P. 436—438.
- [7] Arzhannikov A. V., Burdakov A. V., Kapitonov V. A. et al. // Plasma Phys. and Contr. Fusion. 1988. Vol. 30. P. 1571—1583.
- [8] Burdakov A. V., Deulin Yu. I., Kapitonov V. A. et al. // 19th Intern. Conf. on Phenomena in Ionized Gases. Belgrade, 1989. Vol. 1. P. 252—253.
- [9] Князев Б. А., Мельников П. И., Чикунов В. В. Препринт ИЯФ СО АН ССР. № 89-103. Новосибирск, 1989. 10 с.
- [10] Борисенко И. Р., Лебедев В. Б., Степанов Б. М. и др. // ПТЭ. 1985. № 1. С. 240.
- [11] Дмитриев В. Д., Лукьянов С. М., Пенионжкевич Ю. Э., Саттаров Д. К. // ПТЭ. 1982. № 2. С. 7—18.
- [12] Малышев Б. И. Введение в экспериментальную спектроскопию. М.: Наука, 1979. 478 с.
- [13] Райзэр Ю. П. Физика газового разряда. М.: Наука, 1987. 591 с.

Институт ядерной физики
СО АН ССР
Новосибирск

Поступило в Редакцию
3 июля 1989 г.
В окончательной редакции
8 декабря 1989 г.